

ITALIA

Durante la settimana 9/2015 sono stati raccolti **556** campioni clinici dai diversi laboratori afferenti alla rete Influnet e di questi, **164 (29%)** sono risultati positivi al virus influenzale. In particolare, 121 sono risultati di tipo A e 43 di tipo B, sottolineando quindi un ulteriore incremento, rispetto alla settimana precedente, nella proporzione dei ceppi B (26%) sui campioni positivi all'influenza.

Per quanto riguarda i virus A, 67 sono risultati di sottotipo H3N2, 23 H1N1pdm09 e 31 A non ancora sottotipizzati.

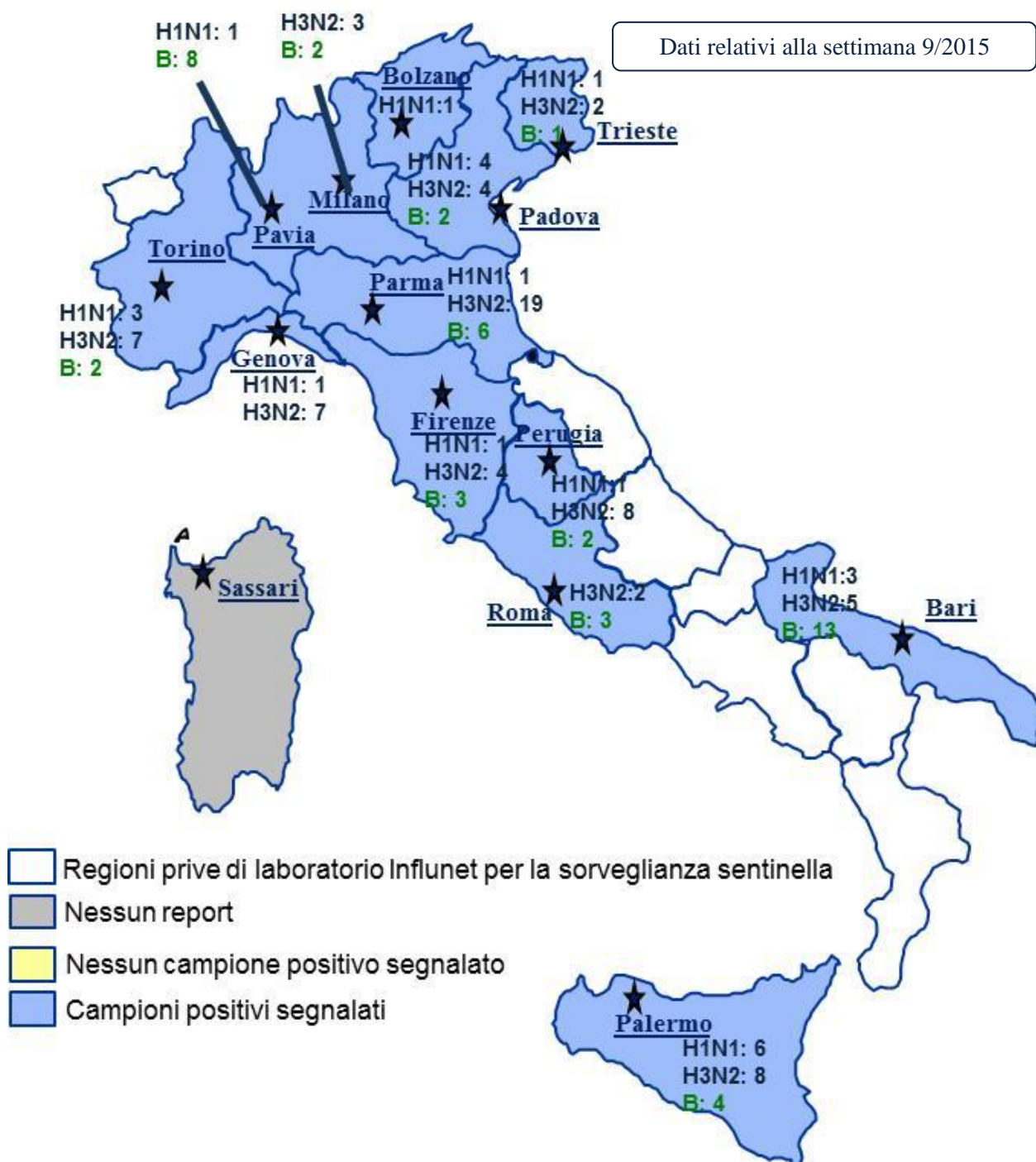
Nella tabella 1 sono elencati tutti i laboratori accreditati che hanno comunicato, in questa settimana, i dati relativi alle indagini di laboratorio.

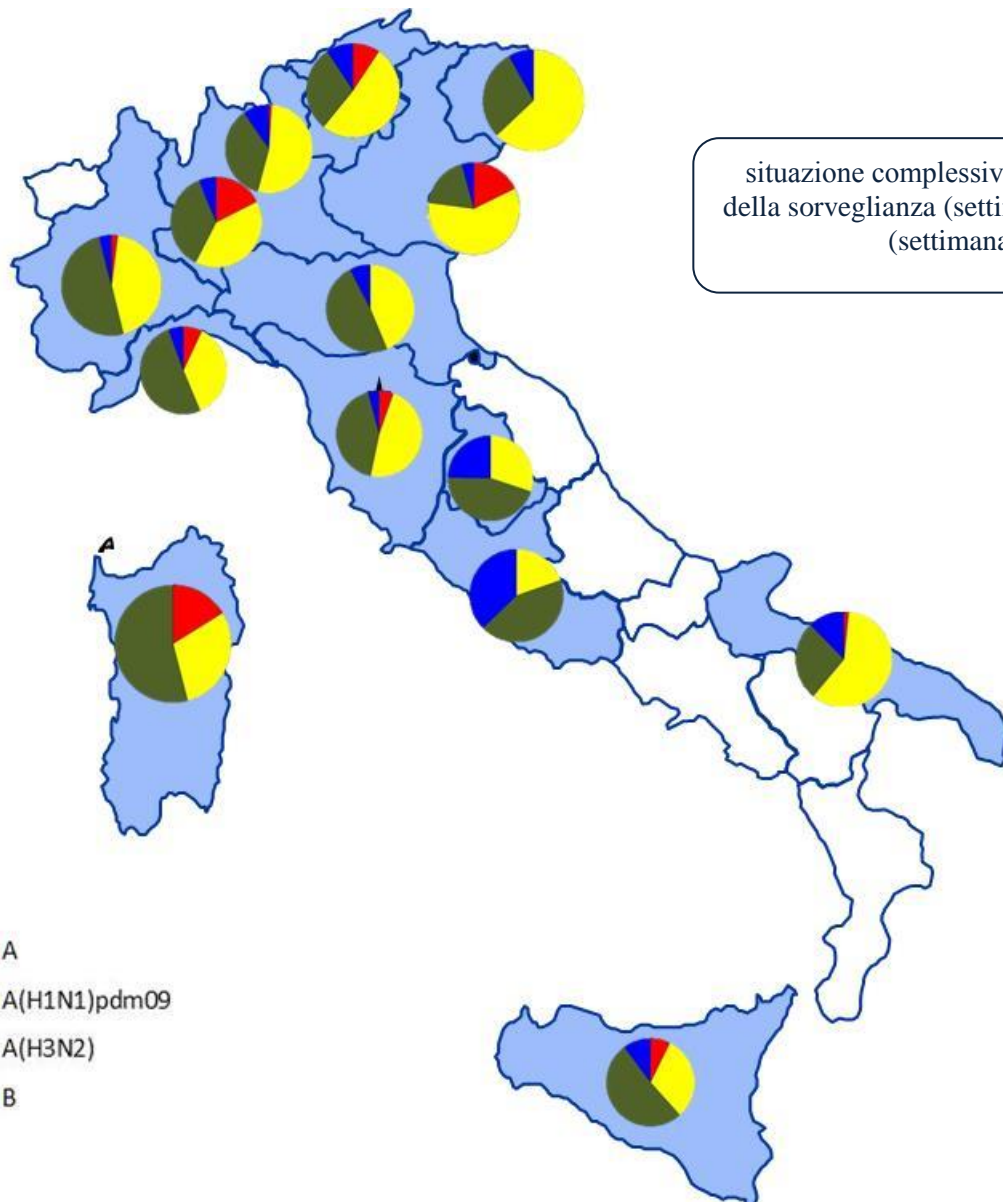
Nella tabella 2 vengono riassunti i dati virologici ottenuti finora (sett. 41/2014-9/2015).

Tabella 1 Laboratori Influnet che hanno comunicato i dati nella 9^a settimana del 2015

| Città | Laboratorio | Referente |
|----------------|-------------------------|----------------|
| BARI | UOC Policlinico di Bari | M. Chironna |
| BOLZANO | AS Alto Adige | E. Pagani |
| FIRENZE | UNIVERSITA' | A. Azzi |
| GENOVA | UNIVERSITA' | F. Ansaldi |
| MILANO | UNIVERSITA | A. Zanetti |
| PADOVA | UNIVERSITA' | G. Palù |
| PALERMO | UNIVERSITA' | F. Vitale |
| PARMA | UNIVERSITA' | P. Affanni |
| PAVIA | IRCCS "San Matteo" | F. Baldanti |
| PERUGIA | UNIVERSITA' | B. Camilloni |
| ROMA | UNIVERSITA' Cattolica | M. Sanguinetti |
| TORINO | AO "Amedeo di Savoia" | V. Ghisetti |
| TRIESTE | UNIVERSITA' | P. D'Agaro |

Dati relativi alla settimana 9/2015





situazione complessiva riportata dall'inizio
della sorveglianza (settimana 41/2014) ad oggi
(settimana 9/2015)

- A
- A(H1N1)pdm09
- A(H3N2)
- B

- Regioni prive di laboratorio Influnet per la sorveglianza sentinella
- Regioni con laboratorio Influnet per la sorveglianza sentinella



Tabella 2 Risultati delle tipizzazioni/sottotipizzazioni dei virus influenzali circolanti in Italia (a partire dalla settimana 41/2014).

| | 41 | 42 | 43 | 44 | 45 | 46 | 47 | 48 | 49 | 50 | 51 | 52 | 1 | 2 | 3 | 4 | 5 | 6 | 7 | 8 | 9 | TOT |
|---------------------|----------|----------|----------|----------|----------|----------|----------|----------|----------|-----------|-----------|-----------|-----------|------------|------------|------------|------------|------------|------------|------------|------------|---------------|
| FLU A | 1 | 2 | 1 | 0 | 0 | 1 | 5 | 0 | 8 | 15 | 40 | 24 | 82 | 180 | 362 | 506 | 480 | 431 | 330 | 216 | 121 | 2.805 |
| A | | | | | | | | | | 1 | 2 | | 9 | 12 | 11 | 32 | 22 | 22 | 24 | 20 | 31 | 186 |
| A(H3N2) | | 2 | | | | 1 | 2 | | 2 | 5 | 11 | 6 | 12 | 28 | 100 | 158 | 204 | 210 | 179 | 132 | 67 | 1.119 |
| A(H1N1)pdm2009 | 1 | | 1 | | | | 3 | | 6 | 9 | 27 | 18 | 61 | 140 | 251 | 316 | 254 | 199 | 127 | 64 | 23 | 1.500 |
| FLU B | 0 | 0 | 0 | 0 | 0 | 0 | 0 | 0 | 0 | 2 | 0 | 1 | 5 | 7 | 14 | 19 | 36 | 47 | 42 | 41 | 43 | 257 |
| TOT POSITIVI | 1 | 2 | 1 | 0 | 0 | 1 | 5 | 0 | 8 | 17 | 40 | 25 | 87 | 187 | 376 | 525 | 516 | 478 | 372 | 257 | 164 | 3.062* |

*Su un totale di 7.733 campioni clinici raccolti

N.B. Le apparenti discrepanze rispetto alla tabella della settimana scorsa sono dovute agli aggiornamenti conseguenti ad approfondimenti nelle analisi diagnostiche (tipo/sottotipo).

Figura 1 Andamento settimanale dei campioni positivi della presente stagione rispetto alla stagione 2013/2014

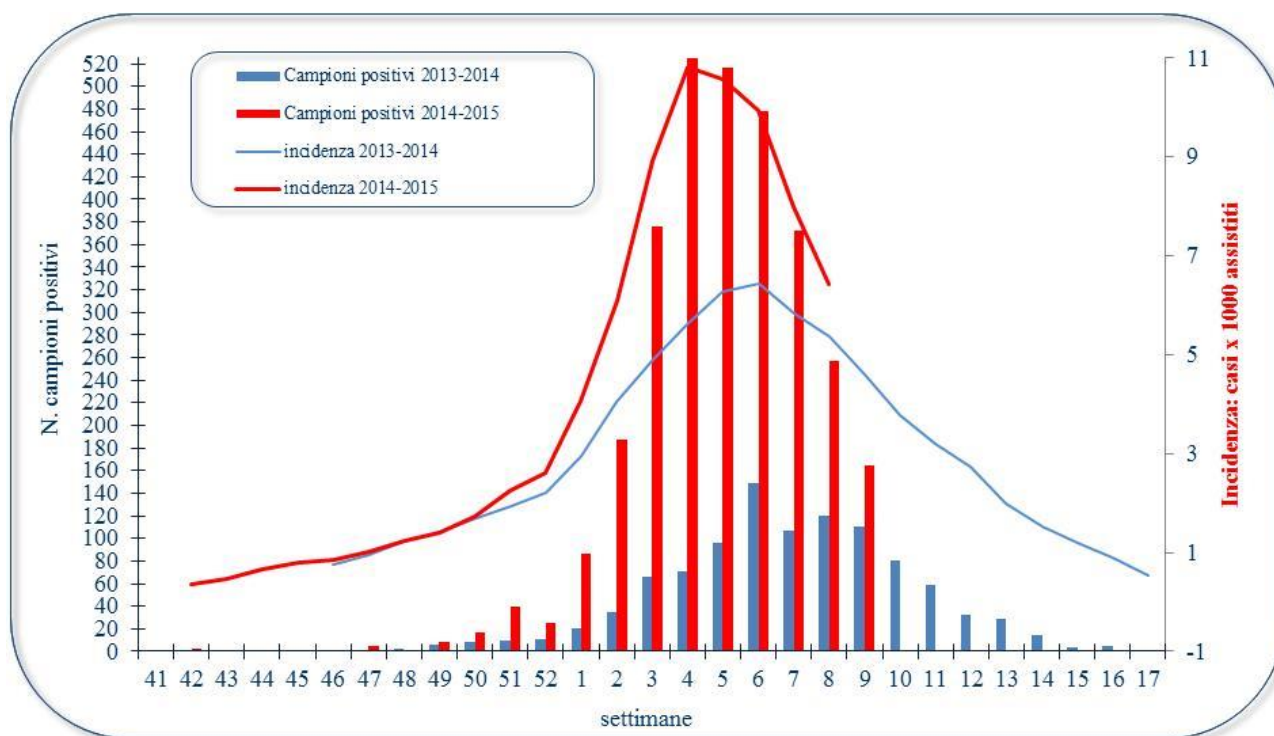
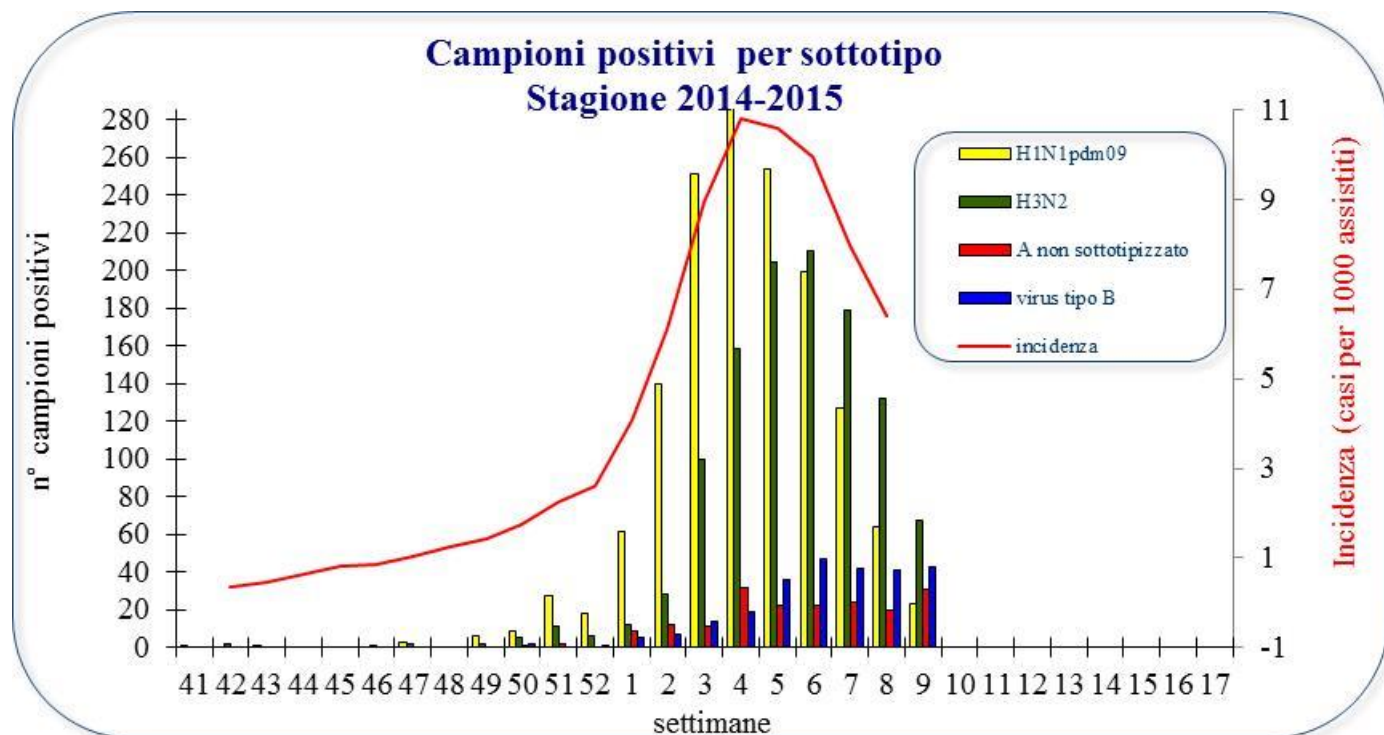


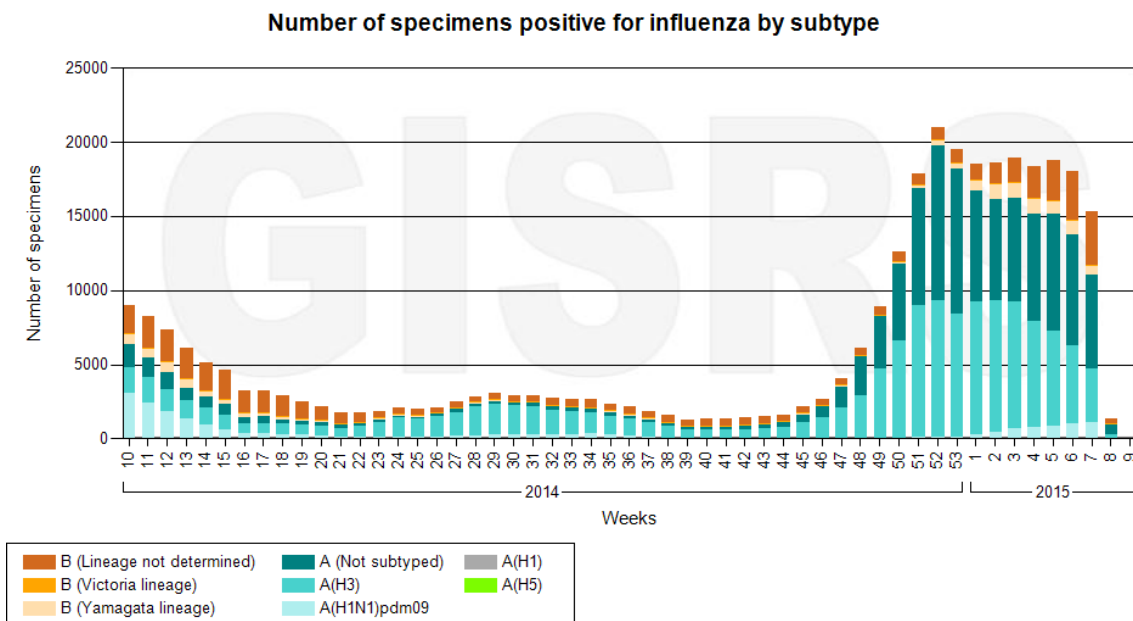
Figura 2 Andamento settimanale dei campioni positivi per tipo/sottotipo



SITUAZIONE INTERNAZIONALE

Il sottotipo H3N2 rimane il ceppo prevalente per la stagione in corso, anche se viene segnalata un incremento nella circolazione dei ceppi di tipo B; le caratterizzazioni antigeniche condotte su virus H3N2 isolati dall'inizio della stagione, confermano il *drift* antigenico nella maggior parte di essi. Nel seguente grafico viene riportata la circolazione globale dei virus influenzali, per tipi e sottotipi aggiornata alla 8^a settimana di sorveglianza.

Global circulation of influenza viruses



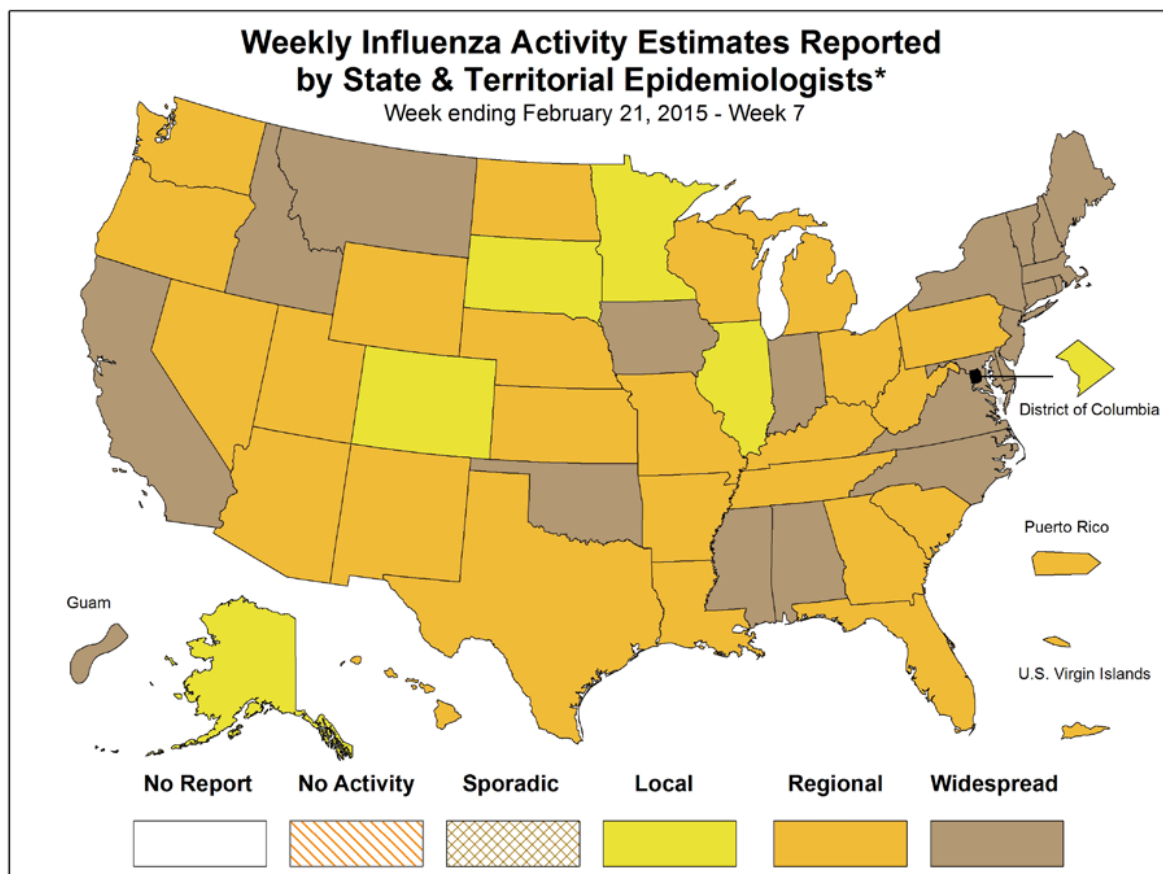
Data source: FluNet (www.who.int/flu/flu-net/), GISRS

© World Health Organization 2014



USA

Nella 7^a settimana di sorveglianza, la circolazione dei virus influenzali, pur rimanendo elevata in tutti gli Stati Uniti, viene riportata in diminuzione. Soltanto il 12% dei campioni analizzati è risultato positivo al virus influenzale.



* This map indicates geographic spread & does not measure the severity of influenza activity



Nella 7^a settimana di sorveglianza, sono stati testati 18.505 campioni clinici. I virus di tipo A (69,1%) sono prevalenti rispetto ai ceppi di tipo B (30,9%). Tra i virus di tipo A sottotipizzati, 623 sono risultati H3N2 (40,3%) e 7 H1N1pdm09 (0,5%).

| | Week 7 | Data Cumulative since September 28, 2014 (Week 40) |
|---|----------------|--|
| No. of specimens tested | 18.505 | 486.004 |
| No. of positive specimens (%) | 2.236 (12,1 %) | 98.680 (20,3%) |
| Positive specimens by type/subtype | | |
| Influenza A | 1.545 (69,1%) | 91.837 (93,1%) |
| H1N1pdm09 | 7 (0,5%) | 165 (0,2%) |
| H3 | 623 (40,3%) | 43.123 (47,0 %) |
| Subtyping not performed | 915 (59,2%) | 48.548 (52,9%) |
| Influenza B | 691 (30,9 %) | 6.843 (6,9%) |

La caratterizzazione condotta su 752 virus H3N2 isolati dall'inizio della stagione, evidenzia che il 30,3% è A/Texas/50/2012-*like* (ceppo vaccinale dell'emisfero Nord per la stagione 2014/2015), mentre il 69,7% ha una ridotta reattività verso l'antisiero prodotto contro A/Texas/50/2012 ed è antigenicamente e geneticamente simile alla variante A/Switzerland/9715293/2013 (ceppo vaccinale dell'emisfero Sud per il 2015 e dell'emisfero Nord per la prossima stagione 2015/2016).

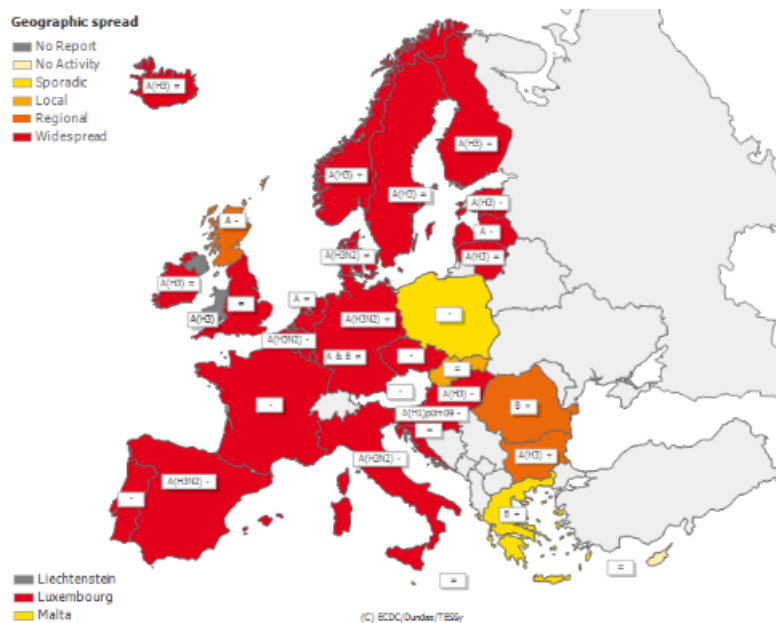
Per ulteriori informazioni relativo al quadro complessivo statunitense, si rimanda al report settimanale del [CDC](http://www.cdc.gov).



EUROPA

L'ECDC (TESSy) riporta una circolazione di virus influenzali in particolare nei Paesi occidentali e centrali; il numero di identificazioni virali sono in diminuzione e molti paesi hanno superato il picco stagionale.

Il 49% dei campioni raccolti è risultato positivo la virus influenzale. I virus H3N2, H1N1pdm09 e B continuano a co-circolare, sebbene il sottotipo H3N2 rimanga prevalente. Le caratterizzazioni virali continuano ad evidenziare il *drift* antigenico rispetto al ceppo vaccinale.



* A type/subtype is reported as dominant when at least ten samples have been detected as influenza positive in the country and of those > 40 % are positive for the type/subtype.

Legend:

| | | | |
|--------------------------|---|------------|------------------------------|
| No report | Activity level was not reported | + | Increasing clinical activity |
| No activity | No evidence of influenza virus activity (clinical activity remains at baseline levels) | - | Decreasing clinical activity |
| | | = | Stable clinical activity |
| Sporadic | Isolated cases of laboratory confirmed influenza infection | A | Type A |
| Local outbreak | Increased influenza activity in local areas (e.g. a city) within a region, or outbreaks in two or more institutions (e.g. schools) within a region (laboratory confirmed) | A & B | Type A and B |
| | | A(H1)pdm09 | Type A, Subtype (H1)pdm09 |
| | | A(H3) | Type A, Subtype H3 |
| Regional activity | Influenza activity above baseline levels in one or more regions with a population comprising less than 50% of the country's total population (laboratory confirmed) | A(H3N2) | Type A, Subtype H3N2 |
| | | B | Type B |
| Widespread | Influenza activity above baseline levels in one or more regions with a population comprising 50% or more of the country's population (laboratory confirmed) | | |



Nella 8^a settimana, vengono riportate 11.019 identificazioni virali.

In particolare:

- 8.280 virus sono risultati appartenenti al tipo A: di questi 703 sono H1N1pdm09 e 2.476 H3N2.
- 2.739 virus sono risultati appartenenti al tipo B: di questi 116 appartengono al lineaggio B/Yamagata.

Total of Viral Detections in the Season up till Week 8, 2015

| Virus type/subtype | Current week | | Season | |
|-----------------------------|--------------|--------------|--------------|--------------|
| | Sentinel | Non-sentinel | Sentinel | Non-sentinel |
| Influenza A | 1037 | 7243 | 7895 | 39245 |
| A(H1)pdm09 | 187 | 516 | 1382 | 3032 |
| A (subtyping not performed) | 213 | 4888 | 759 | 24087 |
| A (H3) | 637 | 1839 | 5739 | 12117 |
| Influenza B | 442 | 2297 | 2188 | 8987 |
| B(Vic) lineage | 0 | 0 | 9 | 23 |
| B(Yam) lineage | 68 | 48 | 471 | 755 |
| Unknown lineage | 374 | 2249 | 1708 | 8209 |
| Total | 1479 | 9540 | 10083 | 48232 |

This report has been generated from data submitted to TESSy, The European Surveillance System on 2015-03-04. Page: 1 of 1. The report reflects the state of submissions in TESSy as of 2015-03-04 at 14:30

La caratterizzazione antigenica condotta su 475 virus H3N2 isolati dall'inizio della stagione, evidenzia che il 65% è risultato A/Switzerland/9715293/2013-like e diverso dal ceppo vaccinale dell'emisfero Nord per la stagione 2014/2015, A/Texas/50/2012-like.

A livello molecolare, 679 virus H3N2 sono stati caratterizzati e il 62% di questi ricade nel sottogruppo 3C.2a (A/Hong Kong/5738/2014), il 27% nel sottogruppo 3C.3 (A/Samara/73/2013) ed il restante 9% nel sottogruppo 3C.3a (A/Switzerland/9715293/2013). Soltanto l'1% ricade nel sottogruppo 3C.1 (A/Texas/50/2012).

Per ulteriori informazioni relative al quadro complessivo europeo, si rimanda ai report settimanali dell'[ECDC](http://ecdc.europa.eu).

